## 6-12 中国地方の地殻変動

## Crustal Movements in the Chugoku District

国土地理院

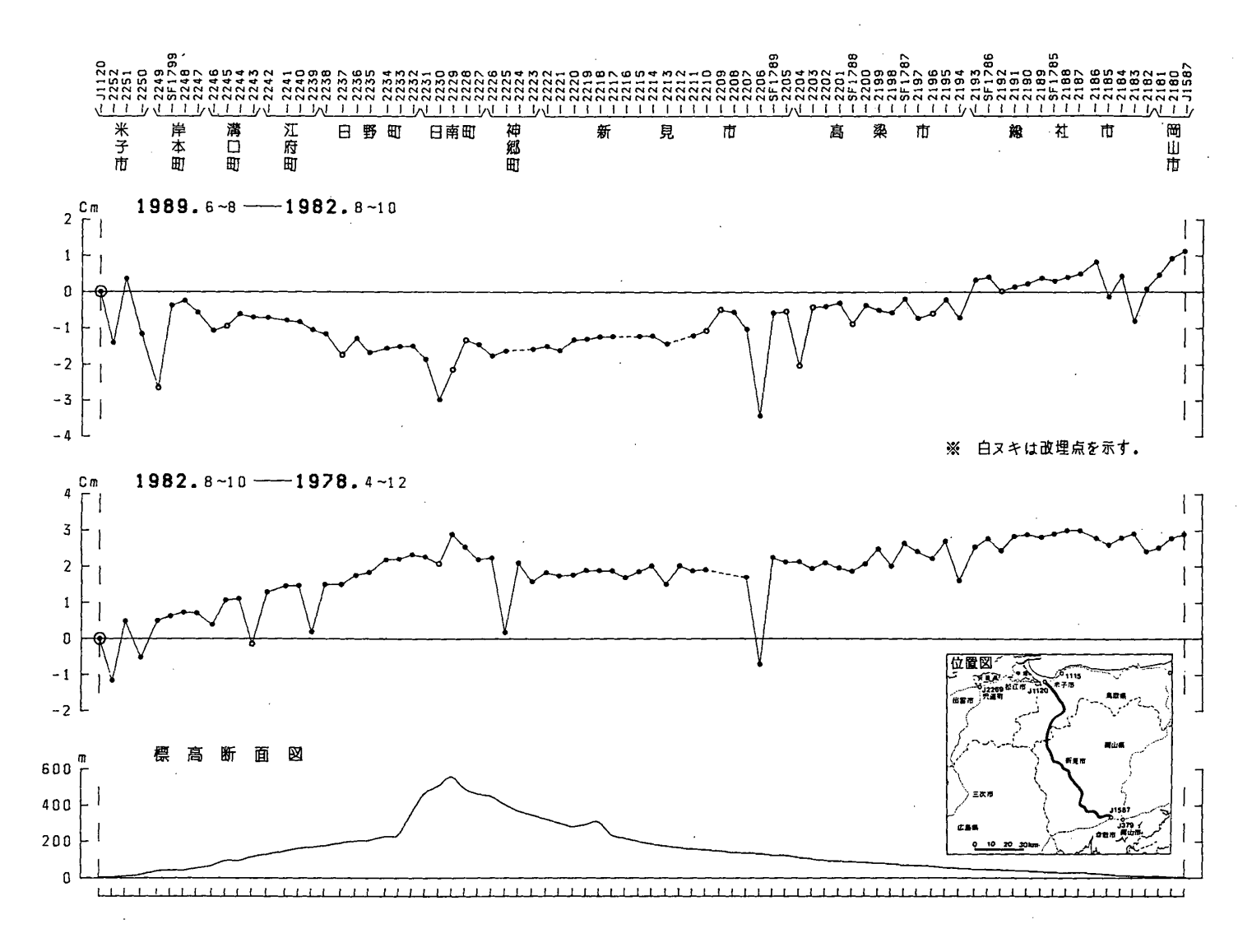
Geographical Survey Institute

第1図は中国山地を横断する米子ー岡山間の上下変動である。前回と逆のパターンになっており、変動は測量の系統的な誤差による見かけのものであろう。第2図は宍道一淀江間の上下変動である。東下がりの傾向がみえる。第3図は浜田一宍道間の上下変動である。前回太田市付近で隆起がみられたが、今回の測量では消えている。第4図は日本海側から中国山地を越えて瀬戸内海側へ出る路線の上下変動である。日本海側がやや下がり気味である。第5図は萩一浜田間の上下変動である。殆ど変化無いが萩付近が少し上がっている。第6図は下関ー萩間の上下変動である。殆ど変化はない。第7図~第11図は各験潮場間の月平均潮位差である。

第12図は柳井精密歪測量結果であるが、測量誤差以上の変化は観測されていない。

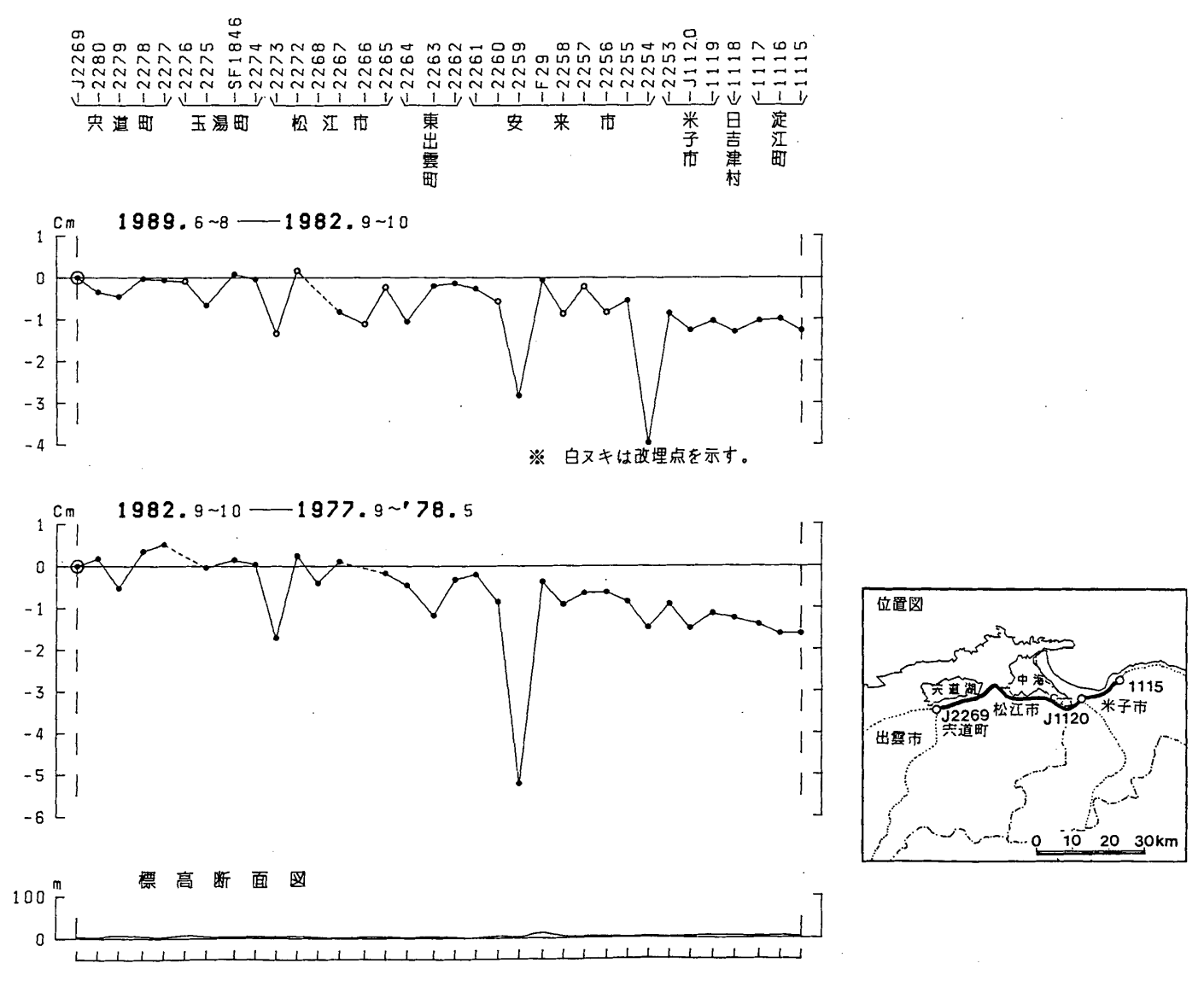
## 参 考 文 献

- 1) 国土地理院:中国・九州地方の地殻変動,連絡会報,40(1988),384-390.
- 2) 国土地理院:中国・四国地方の地殻変動,連絡会報,41(1989),453-457.
- 3) 国土地理院:中国地方の地殻変動,連絡会報,42(1989)340-343.



第1図 米子~岡山間の上下変動

Fig. 1 Level changes along the route from Yonago to Okayama.



第2図 宍道~淀江間の上下変動

Fig. 2 Level changes along the route from Shinji to Yodoe.

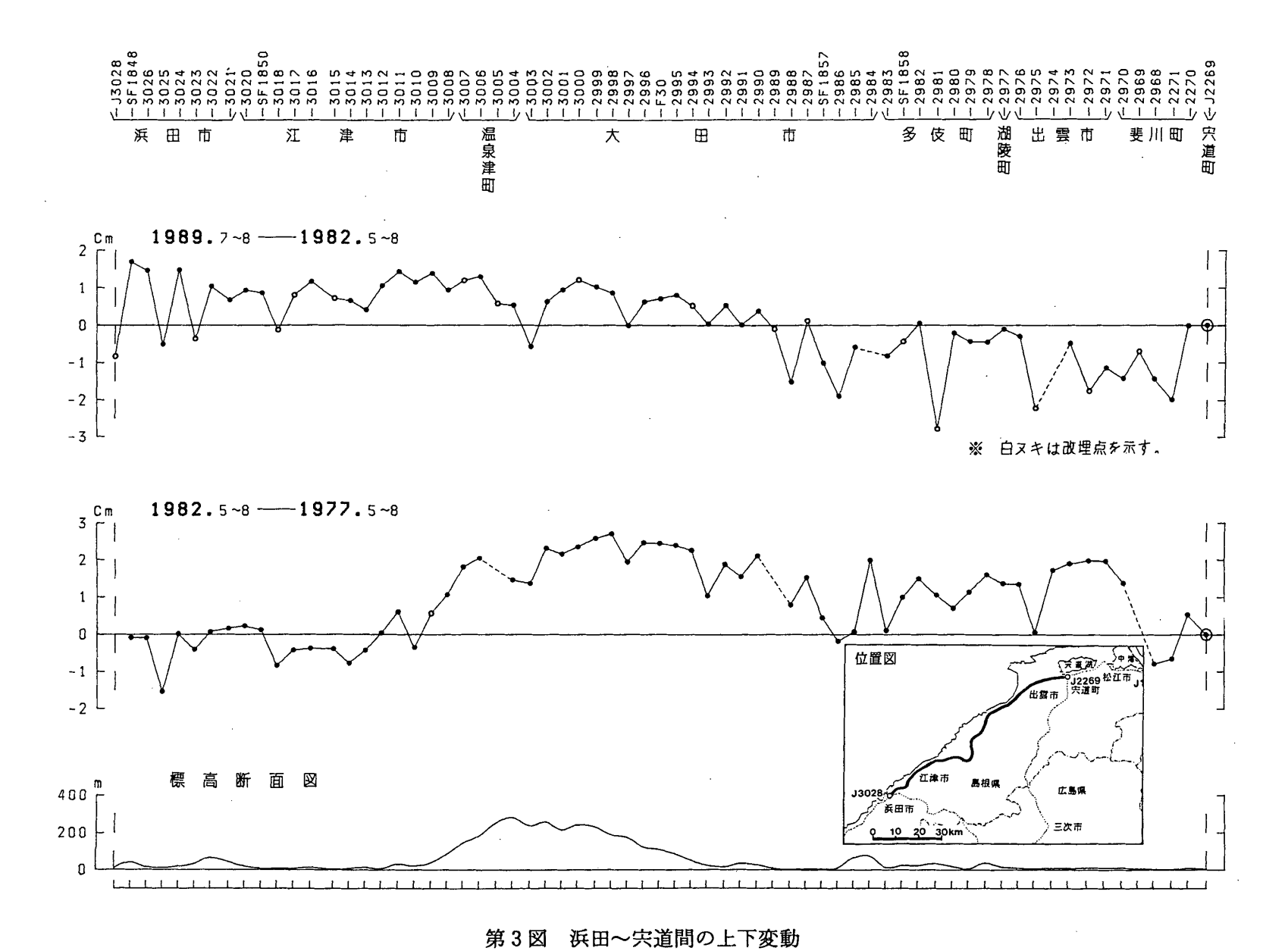
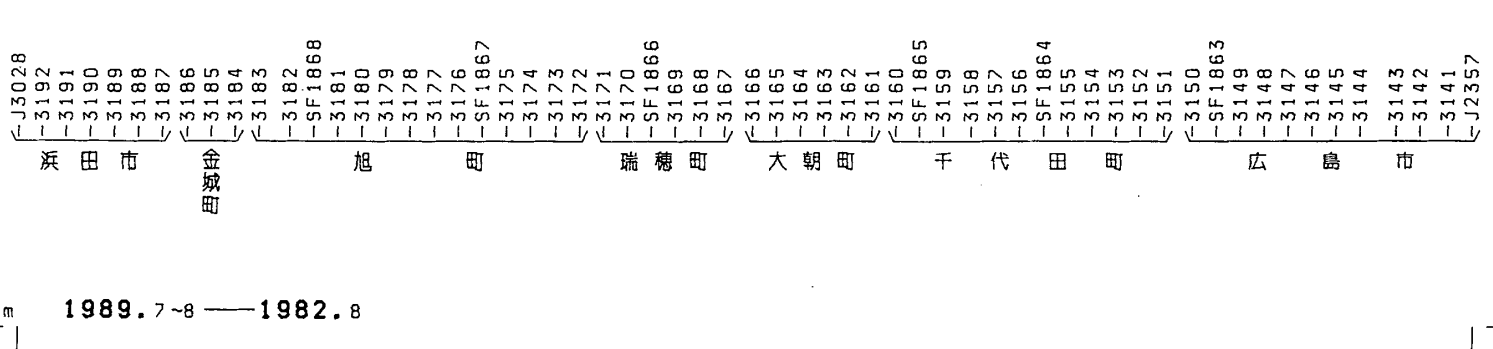
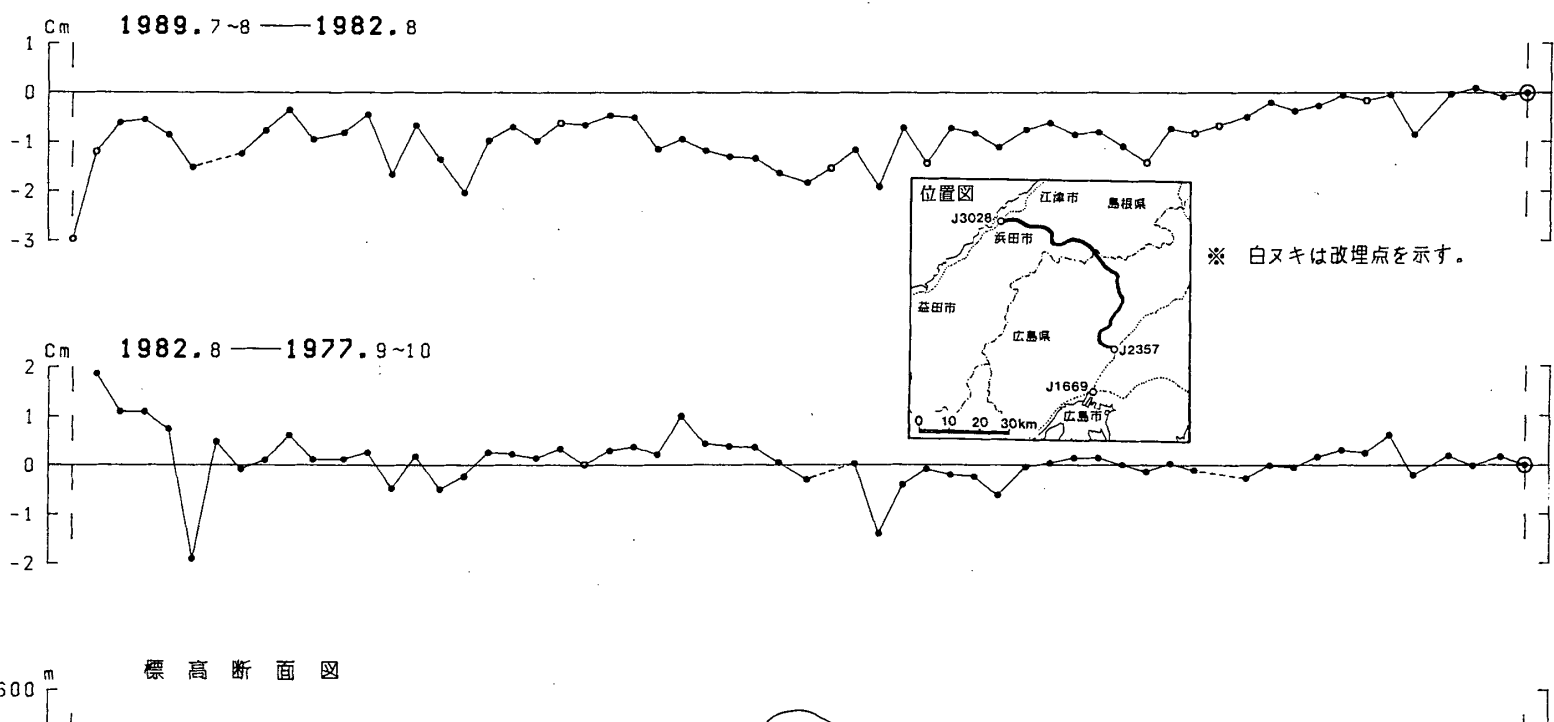
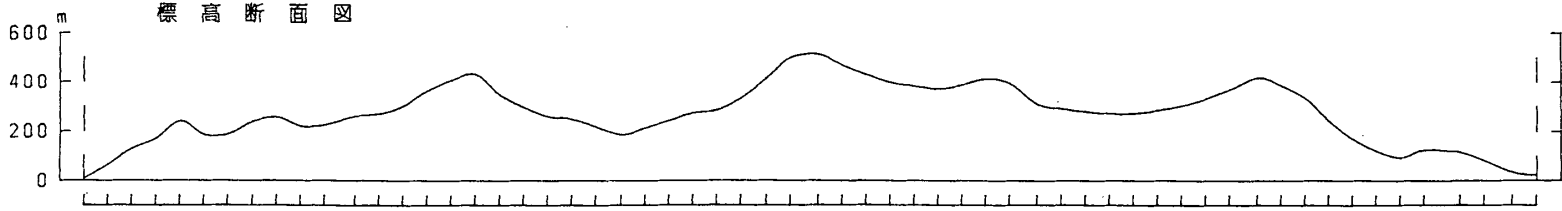


Fig. 3 Level changes along the route from Hamada to Shinji.

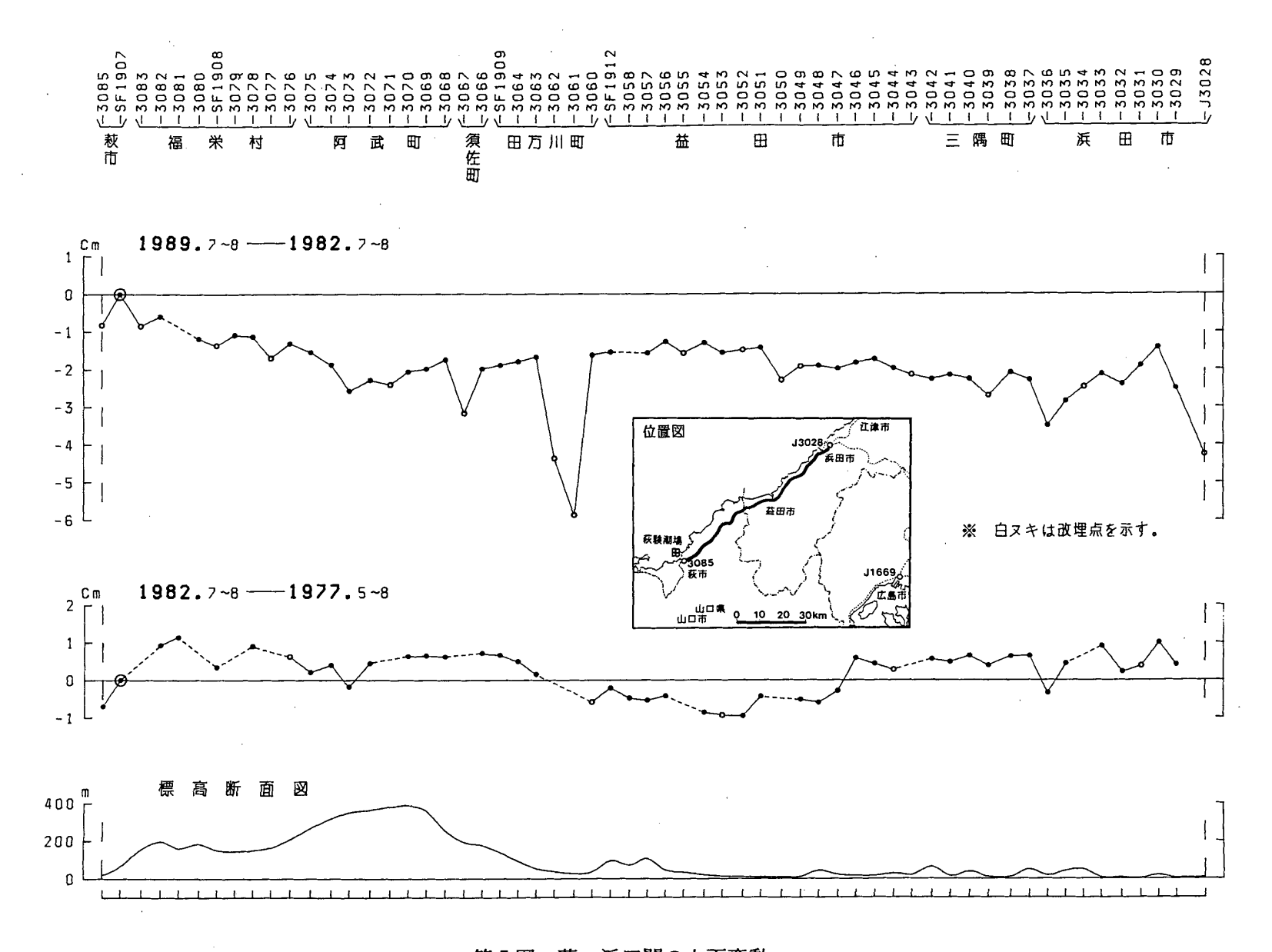






第4図 浜田~広島間の上下変動

Fig. 4 Level changes along the route from Hamada to Hiroshima.



第5図 萩〜浜田間の上下変動

Fig. 5 Level changes along the route from Hagi to Hamada.

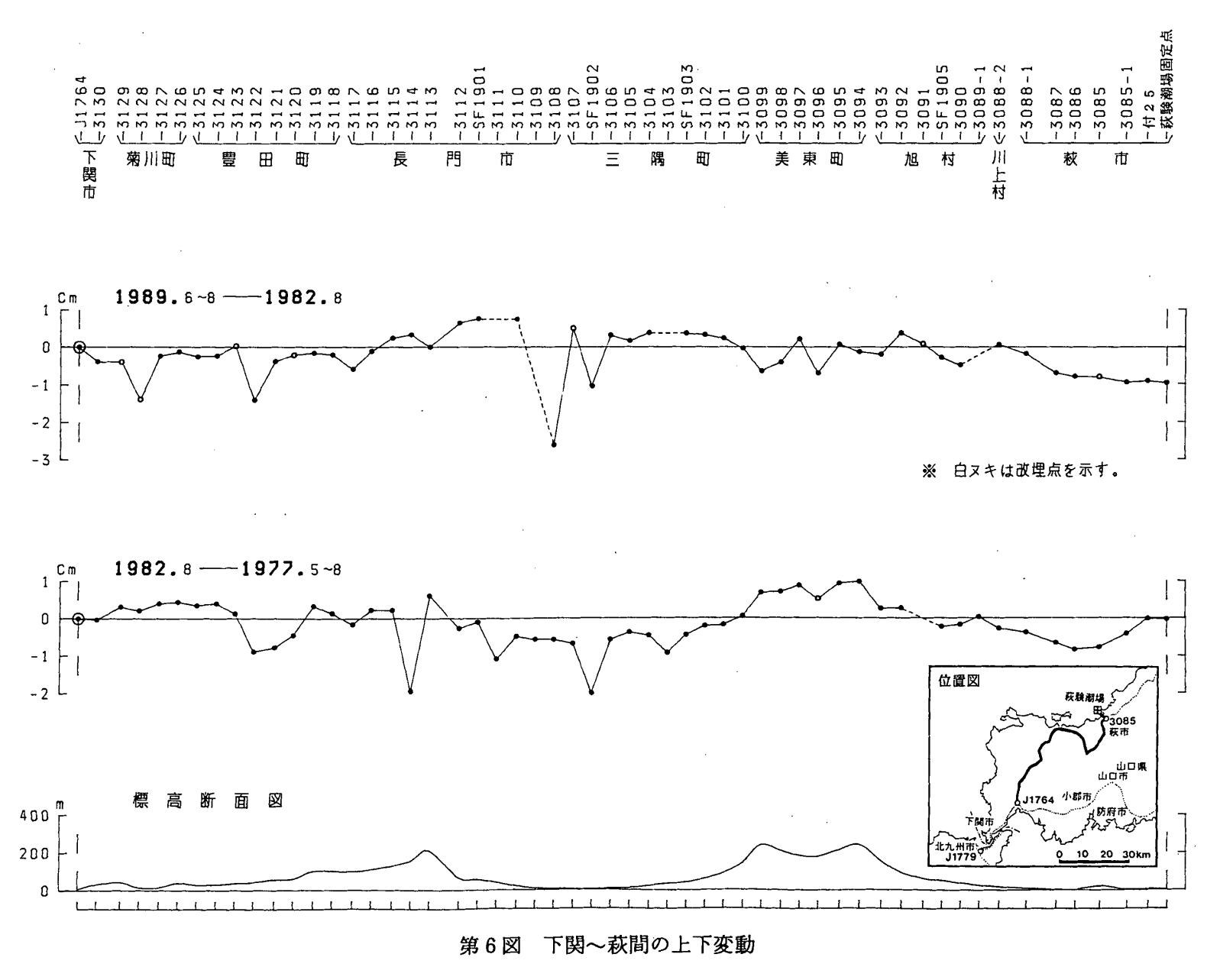
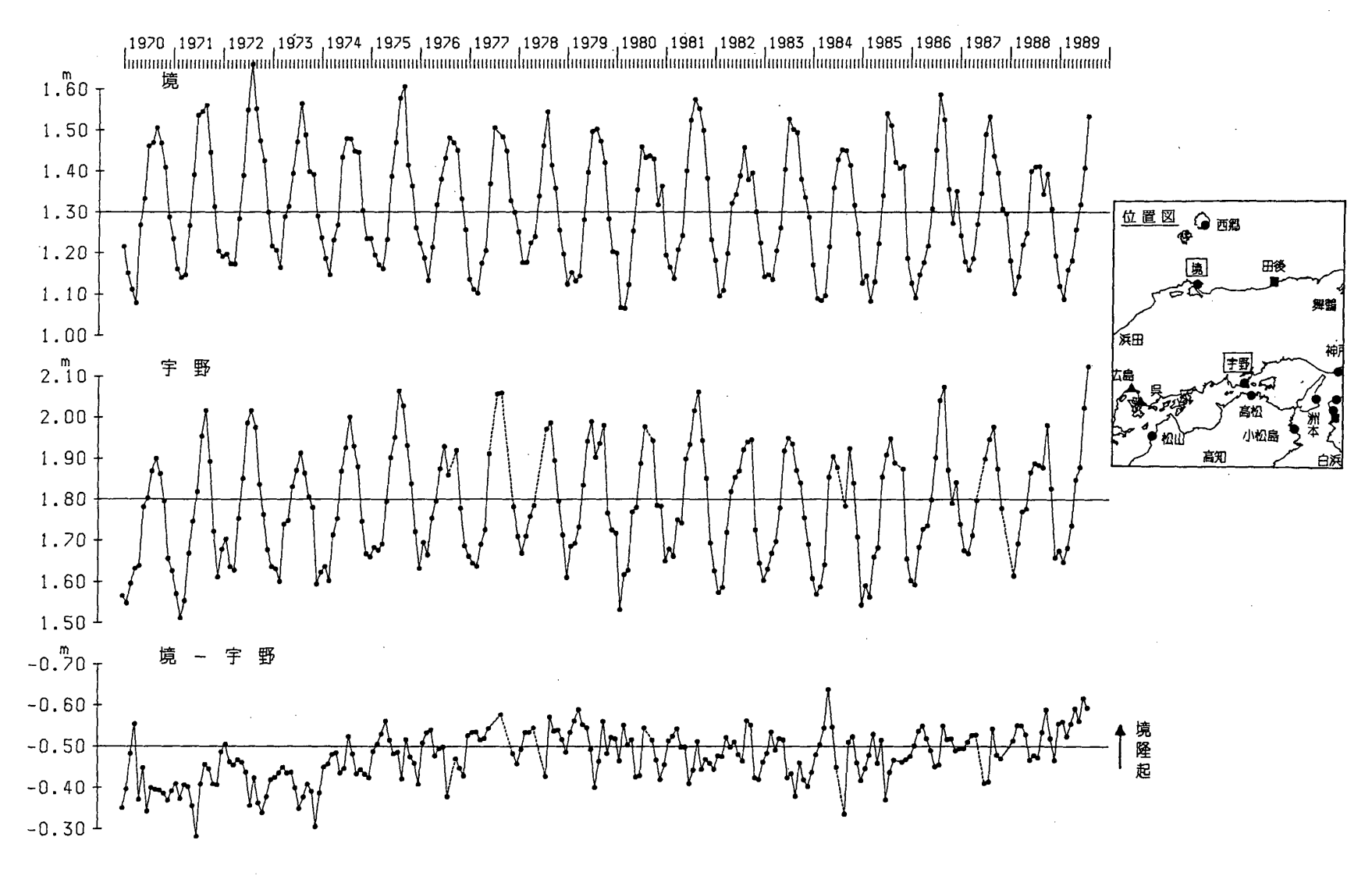
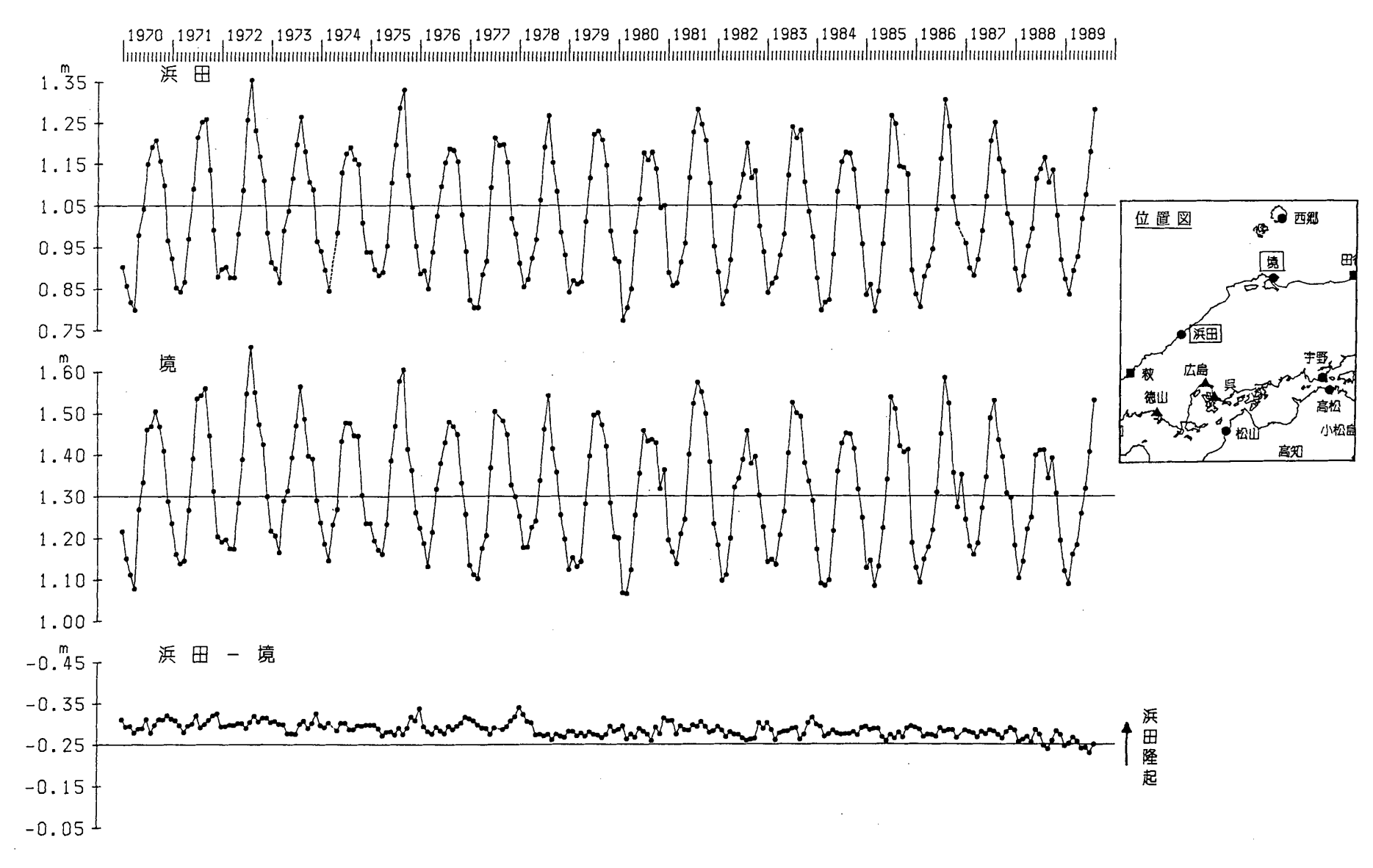


Fig. 6 Level changes along the route from Shimonoseki to Hagi.



第7図 境・宇野験潮場の月平均潮位及び潮位差

Fig. 7 Monthly mean sea level at Sakai and Uno tide stations and difference in monthly mean sea level between them.



第8図 浜田・境験潮場の月平均潮位及び潮位差

Fig. 8 Monthly mean sea level at Hamada and Sakai tide stations and difference in monthly mean sea level between them.

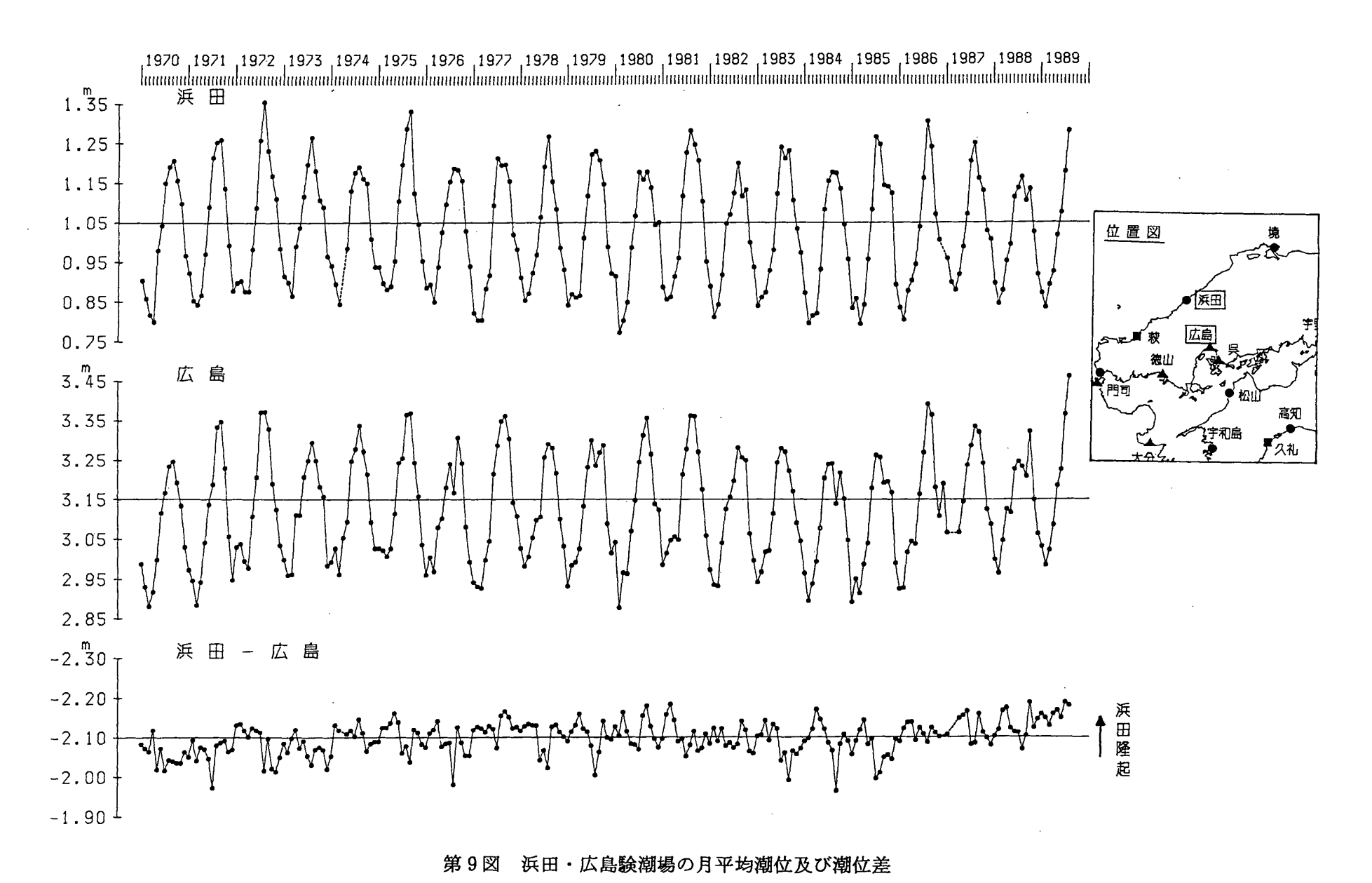
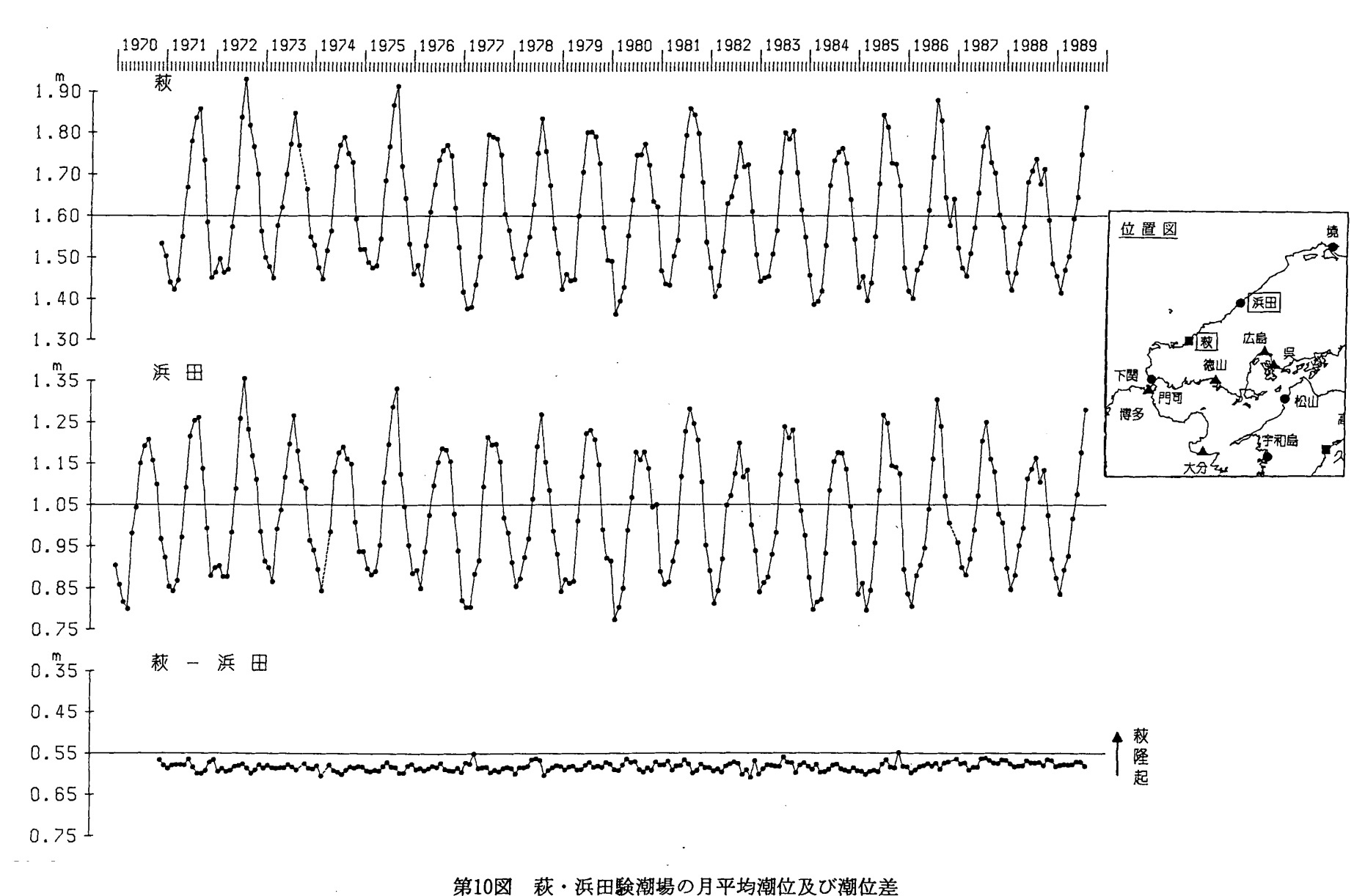


Fig. 9 Monthly mean sea level at Hamada and Hiroshima tide stations and difference in monthly mean sea level between them.



第10回 秋・供田製物物の万十均物位及び側位定

Fig. 10 Monthly mean sea level at Hagi and Hamada tide stations and difference in monthly mean sea level between them.

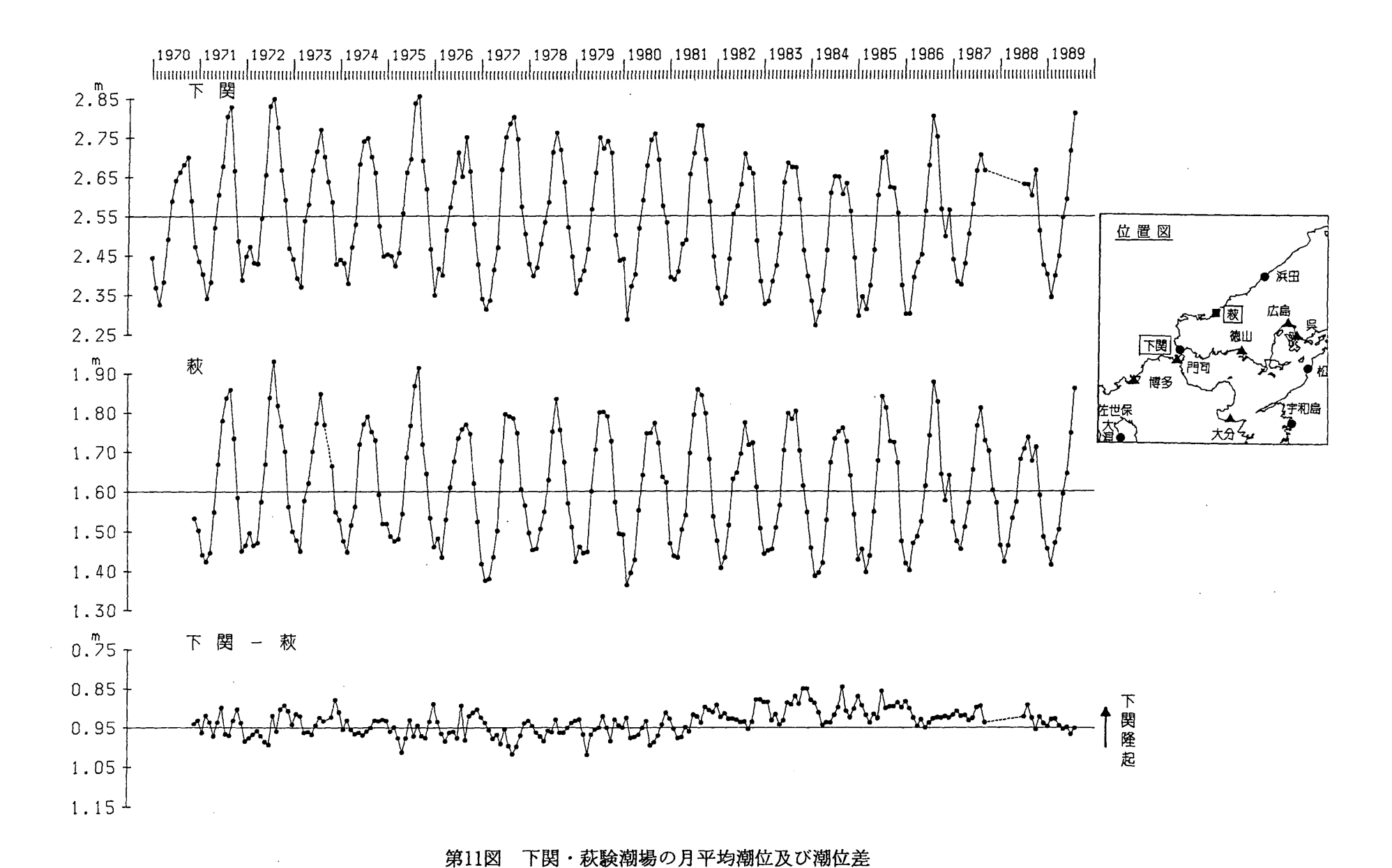


Fig. 11 Monthly mean sea level at Shimonoseki and Hagi tide stations and difference in monthly mean sea level between them.

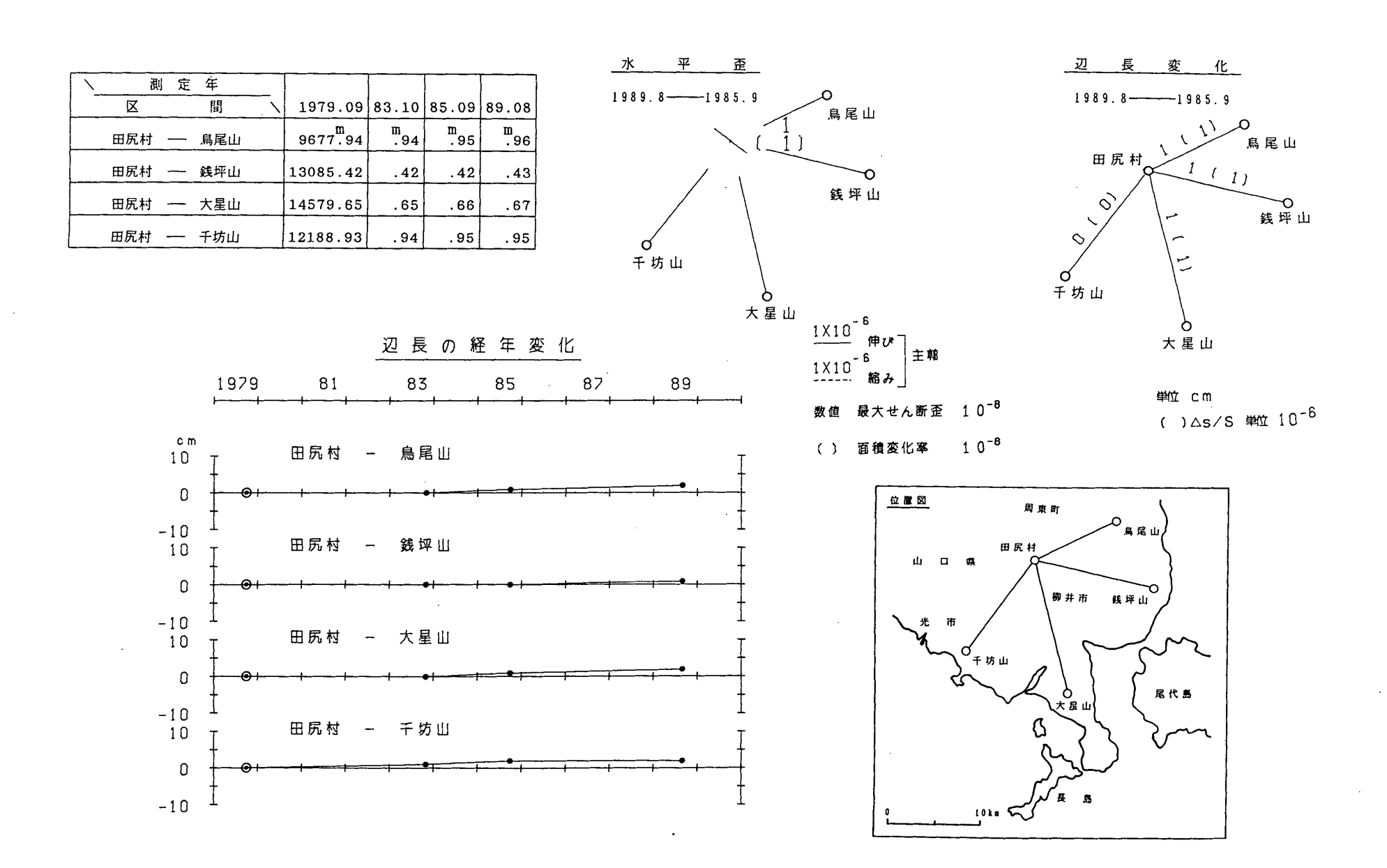


Fig. 12 Results of precise distance measurements at the Yanai radial base-line.

第12図 柳井精密変歪測量結果